

II-82 溪流における巨れきの移動機構について

大阪府立工業高等専門学校

正員 ○大同淳之

同 上

正員 阪本吉一

1. はしがき

出水時に、渓谷で直径1米前後の巨れきが移動する現象がみられる。しかもこの移動がれきの直径あるいはそれ以下で起つていることがしばしば観測される。この移動を説明するのに、

1. 急激な出水に伴う段波現象の不連面での移動
2. れきのまわりの洗掘に伴う移動
3. れき自身のせき上げ効果による移動

が考えられる。このうち1、2は現象としては同じものである。

渓谷では、急こう配に加えて、河床に突出したれきが河積に占める割合が大きい。したがつて流れのせき上げ効果が著しい、この一般的な水面形状は図-1に示される。このせき上げによるれきへの作用力は、せき上げが小さいとき抗力の中に含まれて考慮しても差支えないが、せき上げのはげしいときは、合理的であるといえない。そこで、このようなせき上げのはげしい状態におかれたれきの転動に対する安定を求めるにおいて、せき上げに伴う静圧効果を分離して考えることにした。この考え方の一部はすでに発表したが、その誘導に用いた係数の決定に実験を行なつたので、ここに報告する次第である。

2. 巨れきに作用する力

れきのまわりの流れを図-2のように簡単化して表わすこととする。

れきに働く力は、上下流の水位差による静水圧、流れによる抗力および揚力、流れの加速度によつて生ずる仮想質量力である。

(1) 静 圧

れきの上下流の水深を $\varepsilon_1 D$ 、 $\varepsilon_2 D$ で表わし、れきを球状とみなすと、上下流の圧力差は、

$$P_1 = \rho g \int_0^{\varepsilon_1 D} b (\varepsilon_1 D - z) dz = \rho g \beta_1 (\pi D^3 / 8)$$

$$\beta_1 = (\varepsilon_1 - \frac{1}{2}) \left[1 + \frac{8}{\pi} \left(\varepsilon_1 - \frac{1}{2} \right) \sqrt{k_1} \right] + \frac{1}{4} \sin^{-1} \left(\varepsilon_1 - \frac{1}{2} \right) + \frac{2}{3} \frac{8}{\pi} \sqrt{k_1}$$

$$k_1 = \frac{1}{4} - (\varepsilon_1 - \frac{1}{2})^2$$

$$\text{より } \Delta P = \rho g \lambda (\pi D^3 / 8), \quad \lambda = \beta_1 - \beta_2 \quad (1)$$

で与えられる。力の作用点 Z_{cap} は

$$Z_{cap} = (P_1 Z_{cpw_1} - P_2 Z_{cpw_2}) / \Delta P = k_2 \varepsilon_1 D \quad (2)$$

図-1 縮小断面の水面形

E_c : 断面縮小部の限界

流のエネルギー

E_n : 同所の等流のエネルギー

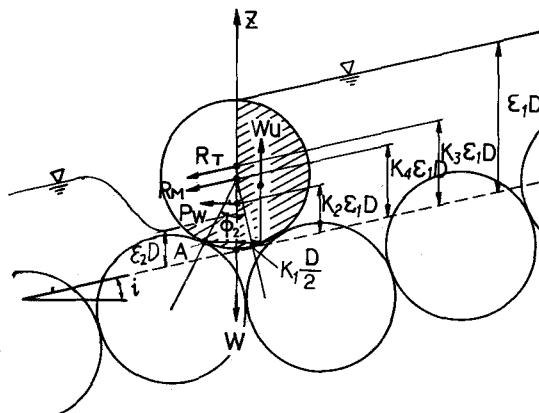


図-2 れきの受ける力とその方向

$$P_z Z_{cpwi} = \int_0^{E_i D} p_z dz = \lambda (3\pi D^4 / 64)$$

$$\lambda = \frac{1}{3\pi} \left[8(E_i - \frac{1}{2}) \left\{ \frac{\pi}{2} + \sin^{-1} 2(E_i - \frac{1}{2}) \right\} + 4(E_i - \frac{1}{2}) \sqrt{K_i} \right] - \left[\frac{\pi}{2} + \sin^{-1} 2(E_i - \frac{1}{2}) + 32\sqrt{K_i} \left\{ (E_i - \frac{1}{2})^3 - \frac{1}{8}(E_i - \frac{1}{2}) \right\} \right] - \frac{64}{3} 2(E_i - 1) \sqrt{K_i^3} \right]$$

である。作用する方向は水平である。

(2) 抗力

流れがれきによつて阻止され、流れの方向の運動量を減じることから、流速を U 、高さ E におけるれきの幅を b とすると、れきに働く流れの力は、つきのように表される。

$$R_T = \rho \int_0^{E_i D} \psi U^2 b dz \quad (4)$$

ここに ψ は、抗力の流れ方向の効率である。 $E_i D$ ($E_i \leq 1$) は流れの水深である。河床上に突起した障害物のまわりの流速は複雑で、鉛直方向の流れも観測されることから、(4)式はこれを平均して取り扱い、

$$R_T = \rho \psi (\pi E_i D^2 / 4) \cdot U_m^2 \quad (5)$$

とする。ここに ψ はれきの流れ方向の投影面積が他のれきによつてしやへいされない割合、 $\pi E_i D^2 / 4$ は水深 $E_i D$ のときのれきの流れ方向の投影面積である。平均流速 U_m は、

$$U_m = A_x U_x \quad (6)$$

と表わすことにする。ここに A_x は流れの水深と粗度に関する量で、 U_x は摩擦速度である。この力の作用点は、流速分布の不明確さから、河床から

$$Z_{CRT} = K_3 E_i D \quad (7)$$

とする。ここに K_3 は係数である。作用する方向は河床に平行である。

(3) 仮想質量力

流れの加速度による力は、つきのように表わされる。

$$F_m = \rho C_m M(t) du/dt \quad (8)$$

ここに、 C_m は仮想質量係数、 $M(t)$ はれきの浸水体積である。この力を、れきのすぐ前面で流れが急激にせき上げられるような状態に対しては、つきのように表わすことが許されるであろう。

そこでは、摩擦こう配が省略できて、運動方程式はつきのようになる。

$$\frac{1}{g} \frac{\partial h}{\partial t} = \frac{\partial h}{\partial x} + \frac{\partial}{\partial x} \frac{U_m^2}{2g} \quad (9)$$

連続方程式は、幅一様な長方形断面に対しては

$$U_m \frac{\partial h}{\partial x} = -h \frac{\partial U_m}{\partial x} - \frac{\partial h}{\partial t} \quad (10)$$

である。そこで、流れの流速を段波の波頂附近の立ち上りの部分について、近似的に、

$$U_m = \frac{h^{3/2}}{11} \sqrt{i - \left(\frac{\partial h}{\partial x} \right)} \quad (11)$$

とすると、 du/dt は、(9)式および(10)式より

$$\frac{du}{dt} = - \left\{ \frac{2}{3} - \frac{1}{2} \frac{h}{(i - \frac{\partial h}{\partial x})} \frac{\partial^2 h}{\partial x^2} \right\} - \frac{\partial h}{\partial x} \frac{1}{U_m} \quad (12)$$

と表される。任意時間の漫水体積 $M'(t)$ は

$$M'(t) = M'_0 + (\partial h / \partial t) At \eta_w (\pi D^3 / 4) = k (\pi D^3 / 6), \quad K = (\xi_{M_0} + \frac{2}{3} \frac{\partial h}{\partial t} At) \eta_w \quad (13)$$

で与えられる。ここに M'_0 は初期の漫水体積で η_w は M'_0 時におけるれきを漫水面で切断したときの断面積係数、 ξ_{M_0} は M_0 が全体の体積中に占める割合、 D はれきの粒径である。したがつて(8)式は、 dU/dt に(12)式を用いて

$$F_M = \rho C_M K (\pi D^3 / 6) (dU/dt) \quad (14)$$

となる。この力の作用点は、流速分布の複雑さを考えて、 M' の重心に働くと考えるのが妥当であろう。これを河床から

$$Z_{CF_M} = k_4 \varepsilon_i D \quad (15)$$

と表現する。作用する方向は河床に平行である。

3. れきの安定限界

図-2に示したように、ほゞ一様にならんだ球状のれきの上にのつた1箇のれきを対象に、転動に対する安定を求ることにする。一列に並んだれきの平均こう配を θ とし、れきの中心において、河床の法線方向およびA点の向のなす角を中とする、A点のまわりのモーメントは、つきのようである。

表 1 A点のまわりに働く力の大きさとその腕長

	力の大きさ	腕 長	働く方向
れきの重量 W	$\sigma g (\pi D^3 / 6)$	$(D/2) \sin(\phi - \theta)$	-
れきの浮力 W_u	$\rho g \xi (\pi D^3 / 6)$	$(D/2) \{ \sin(\phi - \theta) + \alpha_1 \}$	+
静水圧 P_w	$\rho g \eta (\pi D^3 / 8)$	$(D/2) \{ \cos(\phi - \theta) - \alpha_2 \}$	$\alpha_2 = (-2k_2 \varepsilon_i)$
動水圧 R_T	$\rho g \xi \eta U_m^2 (\pi D^3 / 4)$	$(D/2) \{ \cos \phi + \alpha_3 \}$	$\alpha_3 = (2k_3 \varepsilon_i - 1)$
仮想質量力 R_M	$\rho C_M (dU/dt) K (\pi D^3 / 6)$	$(D/2) \{ \cos \phi + \alpha_4 \}$	$\alpha_4 = (2k_4 \varepsilon_i - 1)$

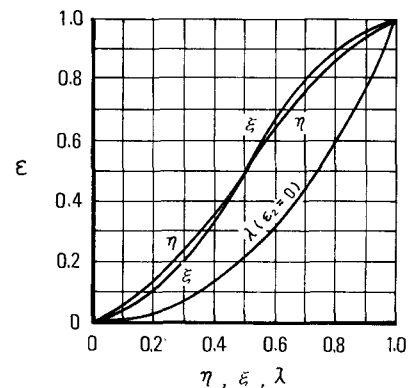
* ξ : ξ は水深が ξD であるときに、それぞれ体積比、面積比を表わし、図-3に示すとおりである。

$$\psi \xi \eta A_*^2 U_m^2 \{ \cos \phi + \alpha_3 \} - \frac{2}{3} \frac{\sigma}{\rho} g D \sin(\phi - \theta) - \frac{2}{3} \xi g D \{ \sin(\phi - \theta) + \alpha_1 \} - \frac{1}{2} g \lambda D \{ \cos(\phi - \theta) - \alpha_2 \} - C_M (dU/dt) K \{ \cos \phi + \alpha_4 \} = 0 \quad (16)$$

上式に、 $U_m^2 = g \varepsilon_i D \sin \theta$ を代入すると、

$$\begin{aligned} \varepsilon &= \frac{\frac{2}{3} \frac{\sigma}{\rho} \sin(\phi - \theta) - \frac{2}{3} \xi \{ \sin(\phi - \theta) + \alpha_1 \}}{\psi \xi \eta A_*^2 \sin \theta \{ \cos \phi + \alpha_3 \}} \\ &\quad - \frac{\frac{1}{2} \eta \{ \cos(\phi - \theta) - \alpha_2 \} - C_M \frac{K dU}{g dt} \{ \cos \phi + \alpha_4 \}}{\psi \xi \eta A_*^2 \sin \theta \{ \cos \phi + \alpha_3 \}} \end{aligned} \quad (17)$$

となる。この式は、れきの粒径に無関係に、そのれきが転動し始める水深比とこう配の関係を示す。



4. 系数の決定

図-3 εとη、λおよび入の関係

(1) れきのまわりの流れの模様

まず、水理条件とれきの前後の水位差の関係を明らかにする必要がある。

鋼製水路に直径 5 cm および 4 cm の球をおいてそのまわりの流れの模様を写真 1 に示す。

れきの中心線における水面形を図 - 4 に示す。また、球の上流側の水面と球の直後の水面の差 h_4 と上流側水深 h_1 との比と Froude 数との関係を図 - 5 に示す。

球に作用する抗力を定める抗力係数は球の上下流の流れの運動量の差から得ら

れる。球の下流側の速度は、ある場合には逆向きの流速もあり、まだ十分の範囲についてきめていない。

なお、天然河道では移動床であって、はしがきで述べたように、れきのまわりの洗掘による移動も考慮する必要がある。図 - 6 は 径 2 mm の移動床上に直径 D 3.0 cm, 2.4 cm および 1.8 cm の硝子球をおき、硝子球が洗掘の影響で転動したときの洗掘深をと硝子球 (\approx 水深) を表したものである。一般には、球の上流側と側方の洗掘が大きくなり下流側は一般に小さい。抗力およびその他の係数の決定については講演時に述べる。

参考文献

矢野勝正、大同淳之：段波状流れの不連続面におけるれきの移動 第14回水理講演集 昭45.2

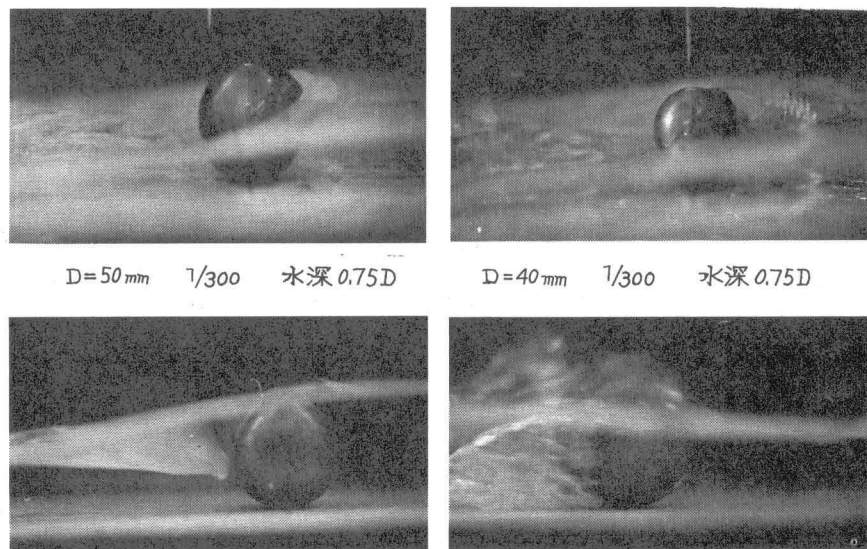


写真 - 1 球のまわりの流れの模様

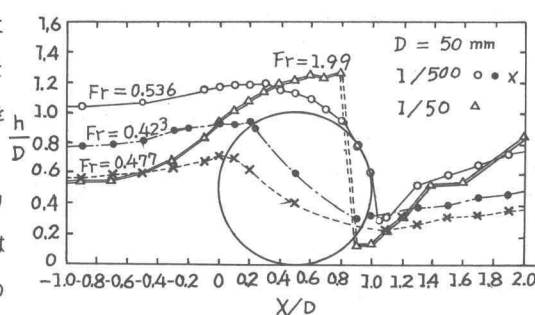


図 - 4 れきの中心線における水面形

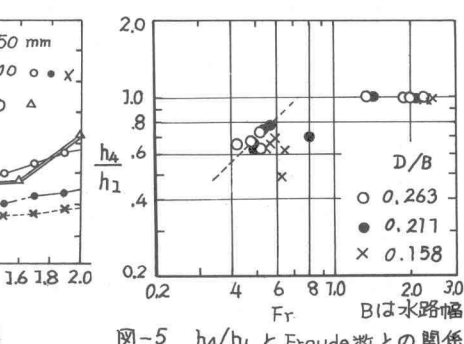


図 - 5 h_4/h_1 と Froude 数との関係

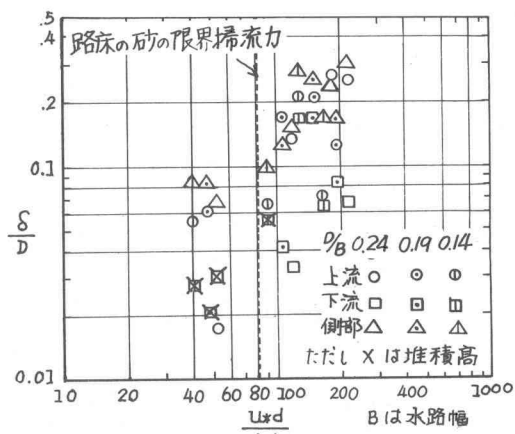


図 - 6 れきのまわりの洗掘深さによる移動